



ساخت و تجهیز سازی ماشین ضربه سقوطی کم سرعت جهت تعیین ظرفیت جذب انرژی در فوم کامپوزیتی با زمینه آلومینیوم

حسین فراहत¹، سید یوسف احمدی بروغنی^{2*}

1- دانشجوی دکتری، مهندسی مکانیک، دانشگاه بیرجند، بیرجند

2- دانشیار، مهندسی مکانیک، دانشگاه بیرجند، بیرجند

* بیرجند، صندوق پستی 97175/615، syahmadi@birjand.ac.ir

اطلاعات مقاله

مقاله پژوهشی کامل

دریافت: 09 اردیبهشت 1395

پذیرش: 28 خرداد 1395

ارائه در سایت: 29 تیر 1395

کلید واژگان:

فوم کامپوزیتی A356/SiC_p

آزمون ضربه سقوطی

مدار لودسل

جذب انرژی

چکیده

در مقاله حاضر، ظرفیت جذب انرژی فوم آلومینیوم A356 تقویت شده با ذرات SiC تحت بار ضربه‌ای مورد مطالعه قرار گرفته و نتایج جدیدی حاصل گردید. ماده فومی با استفاده از روش ذوبی به کمک عامل فوم‌ساز CaCO₃ ساخته شد. دستگاه آزمون ضربه سقوطی در مقیاس آزمایشگاهی طراحی و ساخته شد. مدار کامل نیروسنج دینامیکی (لودسل) طراحی و روی آن نصب گردید. آزمایش ضربه با استفاده از یک ضارب نیم کره‌ای و با سرعت 6.70 m/s، بر روی نمونه‌های فوم انجام شد. نمودار تغییرات نیرو بر حسب زمان به دست آمد و نتایج حاصله، با نتایج به دست آمده از سنسور پیزوالکتریک مقایسه شد که مطابقت خوبی بین آن‌ها وجود دارد. پاسخ ضربه به دست آمده برای فوم کامپوزیتی A356/SiC_p، یک پاسخ کم‌نوسان (حداکثر با 5.8% نوسان) و پایدار است که بیانگر طراحی مناسب ماشین و خروجی قابل اعتماد آن می‌باشد. هم‌خوانی رفتار ماده با نتایج محققین دیگر نیز، بر این امر صحت می‌گذارد. پاسخ مذکور شامل سه ناحیه الاستیک، بار پلاتو و شکست می‌باشد؛ در ناحیه پلاتو، فوم می‌تواند تغییر شکل‌های پلاستیک را در یک بار تقریباً ثابت تحمل نماید. پایان ناحیه پلاتو و شروع ناحیه شکست ماده، در لحظه‌ای اتفاق می‌افتد که نرخ انرژی جذب شده توسط فوم کاهش می‌یابد. مقدار بار پلاتو و انرژی جذب شده که توسط لودسل برآورد شده است، برترتیب برابر با 1.62 kN و 22.04 J بوده که در مقایسه با سنسور پیزوالکتریک، دارای خطای نسبی 1.8 و 7.7 درصد می‌باشد. مقدار (درصد) انرژی جذب شده در نواحی الاستیک، پلاتو و شکست به ترتیب برابر با 6.07 J (27.5%)، 6.58 J (29.9%) و 9.39 J (42.6%) می‌باشد.

Design and instrumentation of low velocity drop-weight impact testing machine for estimation of energy absorption capacity in aluminum based composite foam

Hossein Farahat, Seyed Yousef Ahmadi Brooghani*

Department of Mechanical Engineering, University of Birjand, Birjand, Iran

* P.O.B. 97175/615, Birjand, Iran, syahmadi@birjand.ac.ir

ARTICLE INFORMATION

Original Research Paper
Received 28 April 2016
Accepted 17 June 2016
Available Online 20 July 2016

Keywords:

A356/SiC_p composite foam
Drop-weight impact test
Load-cell circuit
Energy absorption

ABSTRACT

In this paper, the energy absorption capacity of A356 aluminum foam reinforced by SiC particles under impact loading was studied. The foam was manufactured by direct foaming of melts with blowing agent CaCO₃. The drop-weight impact testing machine was designed and fabricated. The dynamic load-cell circuit was designed and mounted on the impactor. The impact test was carried out using a hemispherical indenter with a velocity of 6.70 m/s on the foam specimens, and the load-time history data was obtained. The results were compared with the results reported by a piezoelectric force sensor and validated. The obtained impact response of A356/SiC_p composite foam is stable, which represents the suitable design of the machine and its reliable output. This is emphasized by comparison of material behavior with the results of other researchers. The response includes three stages: an initial linear behavior, a plateau of load and failure of the foam. In plateau region, the plastic deformations can be tolerated by the foam at nearly constant load. The end of plateau region and beginning of the failure region occur at the moment when the rate of energy absorbed by the foam is decreasing. The values of plateau load and absorbed energy estimated from load-cell are 1.62 kN and 22.04 J respectively, which has a relative error of 1.8% and 7.7% in comparison with piezoelectric sensor. The value and percentage of absorbed energy were obtained as 6.07 J, 6.58 J, 9.39 J and 27.5%, 29.9%, 42.6% for elastic, plateau and failure regions respectively.

1- مقدمه

تلاش محققان همواره در جهت کشف و خلق موادی بوده است که علاوه بر داشتن استحکام مناسب، سبک‌تر باشند. در بسیاری از کاربردها خواص

مکانیکی مخصوص¹ (خواص مکانیکی بر واحد وزن ماده)، بسیار مهم‌تر از خواص مطلق بدون در نظر گرفتن وزن می‌باشد. به منظور کاهش وزن، ایجاد

¹ Specific Mechanical Properties

Please cite this article using:

H. Farahat, S. Y. Ahmadi Brooghani, Design and instrumentation of low velocity drop-weight impact testing machine for estimation of energy absorption capacity in aluminum based composite foam, *Modares Mechanical Engineering*, Vol. 16, No. 7, pp. 219-228, 2016 (in Persian)

برای ارجاع به این مقاله از عبارت ذیل استفاده نمایید:

حفره‌های پر شده از هوا یا گازهای خنثی در داخل ماده زمینه و به عبارتی تولید یک ماده متخلخل¹ تحت عنوان "فوم"، مدنظر بسیاری از پژوهشگران قرار گرفته است [1].

بسیاری از فلزات و آلیاژها مانند آلومینیوم، فولاد، مس، نیکل، سرب، روی، منیزیم و تیتانیوم، قابلیت فومی شدن را با استفاده از فرآیندهای تولیدی مختلف دارند. در این میان استفاده از فلز آلومینیوم به عنوان ماده زمینه فوم، به دلیل داشتن وزن سبک و نقطه ذوب پایین (که باعث تسهیل در فرآیند تولید فوم می‌گردد) و نیز به دلیل دارا بودن سفتی ویژه² بالا، مقاومت خوب در برابر خوردگی، نسبت استحکام به وزن بالا، ظرفیت جذب انرژی عالی، قابلیت بازیافت و همچنین قابلیت تولید ساختارهای سلولی نسبتاً همگن و همسانگرد، توجه زیادی را در سال‌های اخیر به خود جلب کرده است. وجود ریزساختار سلولی در فوم‌های فلزی³ و به ویژه فوم‌های آلومینیومی، این امکان را برای آن‌ها فراهم می‌آورد که مقدار زیادی از انرژی جنبشی ناشی از برخورد را قبل از این که موجب تخریب سازه گردد، جذب نمایند و لذا در مواردی که مقاومت در برابر ضربه یا نفوذ نیاز است، این دسته از مواد به عنوان جاذب انرژی عمل می‌کنند. دارا بودن ویژگی‌های مذکور، سبب شده تا فوم‌های آلومینیوم در کاربردهای متعددی مانند صنایع خودرو، هوافضا و کشتی‌سازی به طور گسترده، مورد استفاده قرار گیرند. همچنین از فوم آلومینیوم، به عنوان ماده هسته در ساختارهای ساندویچی تحت شرایط بارگذاری مختلف (از قبیل ضربه ناشی از گلوله یا موج انفجار در کاربردهای حفاظتی) استفاده می‌شود. در واقع، وجود فوم باعث می‌شود که بار ضربه‌ای ماکزیمم زیر حد آستانه‌ای که موجب آسیب به جسم محافظت شده می‌گردد، نگه داشته شود [2-5]. بنابر توضیحات فوق، بررسی جزئیات رفتار مکانیکی فوم، تحت بار دینامیکی ضروری به نظر می‌رسد.

مطالعات قبلی انجام گرفته بر روی فوم‌های آلومینیومی تحت فشار دینامیکی در نرخ کرنش بالا، اساساً بر روی حساسیت پارامترهای مختلف (مانند تنش پلاتو⁴ و مدول⁵) به نرخ کرنش⁶ تمرکز کرده‌اند [6-9] تا از قابلیت جذب انرژی بالای آنها برای کاربردهای عملی استفاده شود. در این مطالعات، از میله فشاری اسپلیت-هاپکینسون⁷ استفاده شده است. بیشتر این مطالعات، نشان می‌دهد که میزان حساسیت مذکور، به نوع فوم آلومینیوم بستگی دارد [10]. میزان جذب انرژی فوم‌ها با چگالی یکسان، بسته به نرخ کرنش می‌تواند متفاوت باشد. همچنین مشاهده شده که با کاهش چگالی فوم، اثرات نرخ کرنش افزایش می‌یابد که این امر به فشار گاز درون سلول‌ها مرتبط است.

برای کاربردهای نرخ کرنش نسبتاً کم (ضربه سرعت پایین)، قابلیت فوم برای تضعیف بار ضربه‌ای و نیز جذب انرژی ضربه، حائز اهمیت است. یک روش کلاسیک، برای بررسی پاسخ دینامیکی مواد مهندسی در نرخ کرنش‌های پایین، آزمایش ضربه سقوطی⁸ می‌باشد. موهان و همکاران [11]، چو و همکاران [12]، کاسترو و همکاران [13]، هان و همکاران [14]، هوسان و ژائونگ [15]، با استفاده از ماشین اینسترون دایناتاپ⁹، آزمایش ضربه سقوطی کم سرعت را بر روی انواع فوم آلومینیوم انجام داده‌اند و پاسخ ضربه

اعمالی به ساختار فوم را اندازه‌گیری کرده‌اند. نتایج آن‌ها بیانگر مقاومت فوم در برابر بار ضربه‌ای و نیز انرژی جذب شده توسط فوم در طی زمان ضربه می‌باشد. راماجاندرا و همکاران [16]، رفتار جذب انرژی ضربه توسط فوم آلومینیوم را در سرعت پایین 3.7 m/s و نیز در سرعت‌های بالا (بین 22 تا 30 m/s)، با استفاده از ضربه‌زن¹⁰ با انتهای تخت و انتهای کروی بررسی کرده‌اند. نتایج آن‌ها نشان داد که در سرعت‌های بالا، نرخ کرنش، اینرسی و موج تنش اعمالی تأثیر بسزایی داشته و مقاومت فوم در برابر نفوذ افزایش می‌یابد. نتایج پرونی و همکاران [17]، نشان داد که لوله آلومینیومی پر شده با فوم آلومینیوم (یک ساختار کامپوزیتی) می‌تواند به افزایش بار فروپاشی¹¹ و نیز جذب انرژی بالا، منجر شود.

تعدادی مطالعات تجربی نیز در داخل کشور، بر روی ساختارهای فومی تحت ضربه انجام شده است. ضیاء شمایی و همکاران [18] با استفاده از یک تفنگ گازی، خواص بالستیکی فوم آلومینیوم را مطالعه نمودند. آن‌ها با اندازه‌گیری سرعت ورودی و سرعت خروجی پرتابه، انرژی جذب شده توسط فوم را محاسبه کردند و تأثیر پارامترهای چگالی فوم، ضخامت فوم و سرعت پرتابه را بر روی میزان جذب انرژی ماده بررسی نمودند. نتایج آن‌ها نشان داد که با افزایش پارامترهای مذکور، میزان جذب انرژی ماده بیشتر می‌شود. چوبینی و همکاران [19]، به بررسی رفتار جذب انرژی و تغییر شکل لوله‌های آلومینیومی جدارنازک (توخالی و توپر با فوم پلی‌اورتان) تحت بار ضربه‌ای عرضی پرداختند و با انجام آزمایش سقوط وزنه بر روی لوله‌ها (با مقاطع دایره‌ای و مربعی) با انرژی‌های مختلف، مقدار شتاب را در طی زمان برخورد اندازه‌گیری نمودند. نتایج آن‌ها نشان داد که در شرایطی که انرژی وارده بر سازه در اثر تصادف کم باشد، استفاده از لوله‌های دایره‌ای مناسب‌تر است و در شرایط انرژی‌های بالاتر برخورد، لوله‌های مربعی کارایی بیشتری دارند.

همچنین استفاده از ساختار فومی، باعث افزایش میزان جذب انرژی می‌شود. اگرچه استفاده از فوم آلومینیوم در مواد مرکب¹² (مانند صفحات ساندویچی¹³ با هسته فومی) بسیار رایج است، اما اگر خواص و رفتار مکانیکی هر کدام از مواد به تنهایی بررسی نشود، امکان توسعه مواد مرکب با مشکلات عدیده‌ای مواجه خواهد شد. بنابراین انجام مطالعات پایه بر روی خواص مکانیکی هر ماده (به تنهایی) امری ضروری و بسیار مهم است؛ مطالعاتی که تأمین کنند اطلاعات لازم برای توسعه مواد کامپوزیتی پیشرفته به‌شمار می‌رود. مقاله حاضر، بخشی از یک کار پژوهشی دنباله‌دار و با رویکرد مذکور می‌باشد که به بررسی رفتار فوم آلومینیوم، تحت ضربه با سرعت پایین می‌پردازد. ماده خاص (جدید) مورد مطالعه در کار حاضر، فوم آلومینیوم A356 تقویت شده به وسیله ذرات کاربید سیلیسیم SiC (فوم کامپوزیتی A356/SiC_p) می‌باشد. روش تولید ماده، روش ذوبی می‌باشد که در آن از پودر کربنات کلسیم CaCO₃، به عنوان عامل فوم‌ساز استفاده شده است. به منظور بررسی تجربی، دستگاه آزمون ضربه سقوطی طراحی و ساخته شده و مدار کامل نیروسنج دینامیکی (لودسل) بر روی آن نصب گردیده است. پس از کالیبره کردن دستگاه و صحت‌سنجی آن، آزمایش ضربه بر روی فوم آلومینیوم انجام شده و رفتار مکانیکی ماده در طی زمان ضربه، مورد بحث و بررسی قرار گرفته و میزان جذب انرژی فوم تعیین شده است. با توجه به عدم وجود داده‌های آزمایش ضربه بر روی فوم A356/SiC_p، ضرورت انجام پژوهش با هدف بررسی پاسخ ضربه ماده مذکور و تفسیر دقیق نتایج به‌دست

¹⁰ Impactor¹¹ Collapse Load¹² Composite Materials¹³ Sandwich Panels¹ Porous Material² Specific Stiffness³ Metal Foams⁴ Plateau Stress⁵ Modulus⁶ Strain Rate Sensitivity⁷ Split-Hopkinson Pressure Bar⁸ Drop-Weight Impact Experiment⁹ Instron Dynatup

جدول 1 ترکیب شیمیایی آلیاژ آلومینیوم A356

Table 1 The chemical composition of A356 aluminum alloy

Mn	Zn	Ti	Cu	Fe	Mg	Si	ترکیب
0.01	0.02	0.07	0.09	0.19	0.35	6.81	درصد وزنی

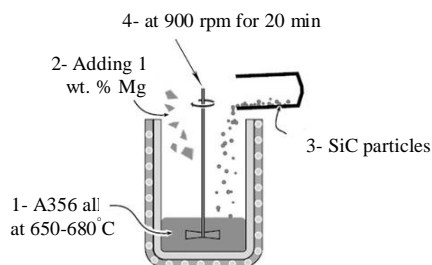


Fig. 1 The production of composite ingot

شکل 1 مراحل تولید شمش کامپوزیتی

در مرحله بعد ذوب مجدد شمش کامپوزیتی $A356/SiC_p$ ، در محدوده دمایی $670-700^\circ C$ و در داخل قالب فلزی صورت گرفت. مذاب با سرعت 1400 دور بر دقیقه و مداوماً هم زده شد تا حداکثر یکنواختی⁵ حاصل شود. در این وضعیت پودر کربنات کلسیم $CaCO_3$ (به مقدار 3 درصد وزنی)، به عنوان عامل فوم ساز و در داخل فویل های آلومینیومی طی مدت زمان کوتاه (حدود یک دقیقه) وارد مذاب در حال هم زدن گردید. بلافاصله عمل فوم شدن شروع و با خروج همزن از داخل قالب، تکمیل شد. قالب از داخل کوره خارج و محصول متخلخل داخل آن، در دمای محیط سرد و منجمد شد [20]. "شکل 2"، مراحل تولید فوم کامپوزیتی با زمینه آلومینیوم را نشان می دهد. محصول متخلخل تولید شده، یک فوم همگن و با ساختار سلول بسته می باشد. "شکل 3"، تصویری از فوم ساخته شده را نشان می دهد. اندازه سلول ها (مقدار متوسط) برابر با 3 mm، دانسیته نهایی فوم برابر با 0.5 gr/cm^3 و 0.5 درصد تخلخل⁶ برابر با 81% می باشد (درصد تخلخل فوم برابر است با $1 - \rho_f/\rho_{Al}$ که ρ_{Al} و ρ_f به ترتیب چگالی فوم و چگالی آلومینیوم یعنی ماده زمینه فوم است). محصول فومی، به نمونه هایی به ابعاد $100 \text{ mm} \times 100 \text{ mm} \times 20 \text{ mm}$ برش داده شد و جهت آزمایش ضربه آماده گردید.

3- طراحی و ساخت دستگاه ضربه

بر اساس طرح ماشین آزمون ضربه اینسترون دیناتاپ و نیز استاندارد ASTM D 3763 [21]، دستگاه آزمون ضربه سقوطی در مقیاس آزمایشگاهی طراحی و ساخته شد. "شکل 4"، نمای شماتیکی از دستگاه آزمایش را نشان می دهد. روش آزمایش ضربه به صورت زیر است: نمونه فوم آلومینیوم، بین دو صفحه مربعی (دو صفحه صلب موازی) قرار می گیرد و به طور ثابت⁷ بسته می شود، به گونه ای که نقطه ضربه، در وسط نمونه می باشد. هر یک از این دو صفحه (صفحات گیره⁸)، دارای سوراخ دایره ای مرکزی به قطر 76 mm می باشد. چکش مورد استفاده، فولادی و با انتهای نیم کروی به قطر 13 mm می باشد. ضربه زن یا کوبه سقوط کننده⁹ (شامل چکش ضارب و متعلقات آن) به جرم 4.7 kg، توسط مکانیزم چفتی کردن و نقاله¹⁰ تا یک ارتفاع مشخص بالا برده می شود. سپس از آن ارتفاع، در امتداد دو ریل راهنما رها شده و روی

آمده، حائز اهمیت می باشد. در مقاله حاضر، با دقت به این موضوع پرداخته شده است. همچنین لازم به ذکر است که در مقاله حاضر، برای اولین بار در کشور، کلیه مراحل طراحی و ساخت ماشین آزمون ضربه سقوطی سرعت پایین و نحوه تجهیز سازی آن به حسگرهای الکترونیکی، برای استفاده سایر محققین با دقت و به تفصیل بیان شده است. استفاده از سنسورهای مختلف در ثبت داده ها و مقایسه نتایج آن ها با یکدیگر، به عنوان نقطه قوت مقاله حاضر می باشد. نحوه کالیبراسیون دستگاه و به کار بردن سنسورهای نیروسنج مختلف و نیز بیان جزئیات مربوط به مشخصات سنسورهای استفاده شده (شتاب سنج، لودسل و نیروسنج تجاری پیزوالکتریک)، از موارد دیگر نوآوری تحقیق می باشد. استانداردهای مربوط به طراحی دستگاه و مشکلات موجود در روند تکاملی ساخت دستگاه نیز، در متن مقاله توضیح داده شده است.

2- مواد و روش تولید

روش های تولید فوم های فلزی، در خلال سال های متعددی تنوع گسترده ای یافته است. در این میان، روش های ذوبی اهمیت بیشتری پیدا کرده اند. در تحقیق حاضر برای تولید نمونه های فوم آلومینیومی، از روش ذوبی با عامل فوم ساز (فوم سازی مستقیم از مذاب)¹ استفاده شده است. محصول این روش، یک فوم با قابلیت چکش خوری² و دارای ساختار سلول بسته³ بوده که برای کاربردهای جذب انرژی ضربه، بسیار مناسب می باشد. همچنین در مقایسه با سایر روش های تولیدی، اندازه سلول ها و توزیع چگالی موضعی در فوم همگن تر می باشد [3].

در این پژوهش، آلیاژ آلومینیوم ریختگی A356 با ترکیب شیمیایی جدول 1، به عنوان فلز پایه انتخاب گردید. از ذرات تقویت کننده کاربرد سیلیسیم SiC ، با خلوص 98% وزنی و اندازه متوسط ذرات برابر با 10 میکرومتر، برای پایدارسازی مذاب (ویسکوزکننده مذاب) در فرآیند تولید فوم، استفاده شد. به منظور حذف گازهای جذب شده سطحی و در نتیجه، بهبود ترشوندگی ذرات SiC توسط مذاب آلومینیوم، این ذرات تحت فرآیند آماده سازی حرارتی قرار گرفت. این فرآیند، شامل حرارت دادن به مدت یک ساعت در دمای $950^\circ C$ و خنک کردن در داخل کوره و مجدداً حرارت دادن به مدت 2 ساعت در دمای $650^\circ C$ و خنک کردن در دمای محیط می باشد. پودر کربنات کلسیم $CaCO_3$ ، با خلوص 99.5% وزنی و اندازه متوسط 5 میکرومتر، به عنوان عامل فوم ساز استفاده شد. به منظور افزایش قدرت تجزیه ذرات $CaCO_3$ و توزیع مناسب آن در داخل مذاب، این ذرات تحت فرآیند آماده سازی حرارتی و خشک کردن قرار گرفت. حرارت دادن به مدت 2 ساعت در دمای $200^\circ C$ و سرمایش در دمای محیط صورت گرفت. انجام عملیات مذکور، باعث تشکیل یک لایه اکسیدی در مقیاس نانومتری، بر روی سطح ماده فوم ساز گردیده و این امر سبب می گردد که با هم زدن آن در داخل مذاب آلومینیوم، سریعاً و در مدت زمانی کوتاه فوم تولید شود.

برای تولید محصول فومی، ابتدا مذاب آلیاژ آلومینیوم در دمای $650-680^\circ C$ آماده و توسط سیستم همزن با سرعت تقریبی 900 دور بر دقیقه، هم زده شد. سپس ذرات SiC (به مقدار 10% حجمی)، طی مدت زمان 20 دقیقه و به تدریج وارد مذاب در حال اغتشاش شد (ریخته گری گردابی⁴). پس از آن مذاب کامپوزیتی، به داخل قالب های شمش تخلیه و منجمد گردید. "شکل 1"، مراحل تولید شمش کامپوزیتی را نشان می دهد.

⁵ Homogenization⁶ Porosity⁷ Fixed⁸ Clamp Plates⁹ Falling Ram (Crosshead)¹⁰ Latching and Hoist Mechanisms¹ Direct Foaming Route of Melt using foaming agent² Ductile³ Closed-cell⁴ Stir Casting

"شکل 5"، تصویری از دستگاه آزمایش را نشان می‌دهد. با اضافه کردن جرم موردنیاز و یا تغییر ارتفاع رها شدن ضربه‌زن، امکان اعمال انرژی ضربه با مقادیر مختلف وجود دارد. در "شکل 6"، نمونه فوم بعد از انجام آزمایش و نیز پلاگ جدا شده از آن (از دو نمای مختلف) نشان داده شده است. انرژی ضربه اعمالی برابر 105 J بوده و نمونه در اثر نفوذ کامل چکش، سوراخ شده است (حالت شکست ماده، به صورت پلاگ برشی¹ مشاهده شد). به منظور ثبت داده‌های مربوط به رفتار ضربه فوم، از شتاب‌سنج، لودسل و سنسور پیزوالکتریک استفاده شده که جزئیات آن در بخش‌های 1-3 تا 3-3 ارائه شده است.

1-3- نصب شتاب‌سنج بر روی چکش

سیستم اکتساب داده‌ها²، شامل شتاب‌سنج، اسیلوسکوپ و منبع تغذیه می‌باشد که مشخصات آن مطابق جدول 2 می‌باشد. تجهیزات مذکور، متعلق به آزمایشگاه ضربه دانشگاه بیرجند می‌باشد که از آن‌ها در کار حاضر استفاده شده است. سنسور شتاب (که تصویر آن در "شکل 7" مشاهده می‌شود)، بر روی چکش نصب شد و آزمایش ضربه بر روی تعدادی نمونه فوم انجام گردید. به محض اصابت چکش به نمونه، مقدار ولتاژ برحسب زمان گزارش شده و



Fig. 5 A picture of the drop-weight impact testing machine

شکل 5 تصویر دستگاه آزمایش ضربه سقوطی

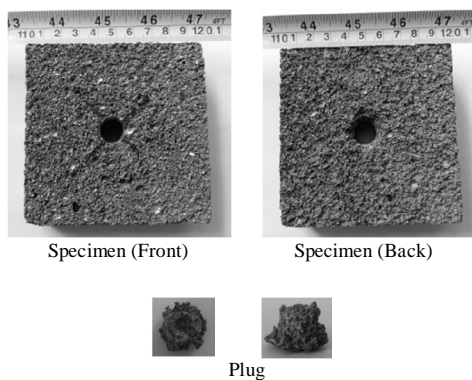


Fig. 6 Perfectly penetrated foam specimen and shear plug

شکل 6 نمونه فوم کاملاً سوراخ شده و پلاگ جدا شده از آن (از دو نمای مختلف)

¹ Shear-Plugging Fracture Mode

² Data Acquisition System

نمونه فومی می‌افتد. به وسیله سرعت‌سنج نصب‌شده بر روی دستگاه، سرعت ضربه در لحظه اصابت چکش با نمونه تعیین می‌شود (برابر 6.70 m/s). آزمایش ضربه، برای پنج نمونه تکرار شده است.

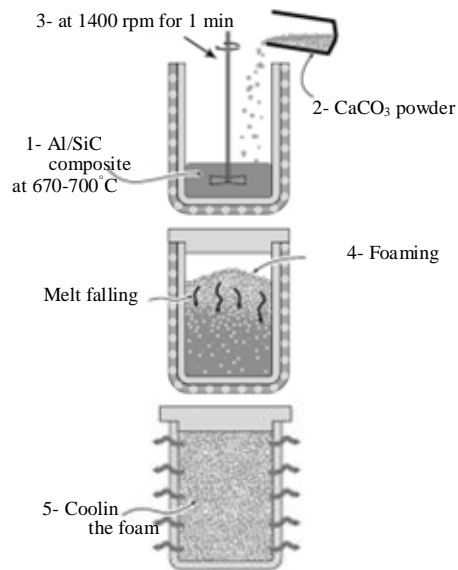


Fig. 2 The stages of foam production

شکل 2 مراحل تولید فوم

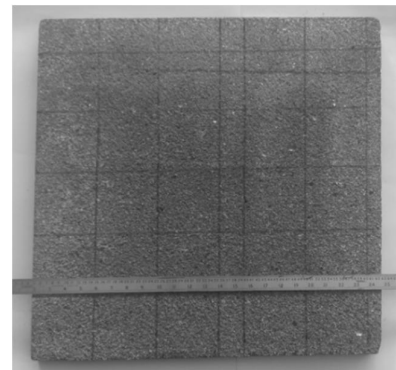


Fig. 3 A picture of foam product

شکل 3 تصویری از محصول فومی ساخته شده

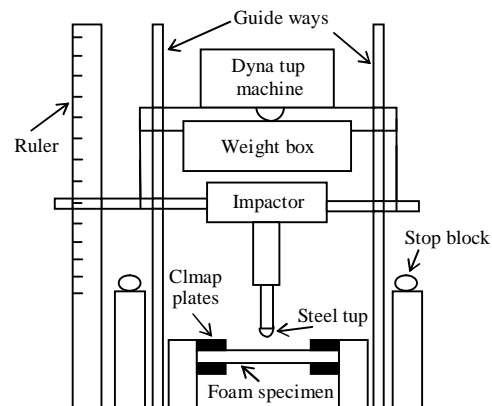


Fig. 4 Schematic view of the impact testing machine used in this work

شکل 4 نمای شماتیکی از دستگاه آزمایش ضربه ساخته‌شده در تحقیق حاضر

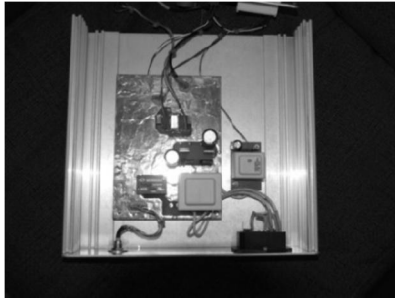


Fig. 9 The details of dynamic load-cell circuit

شکل 9 جزئیات مدار نیروسنج دینامیکی

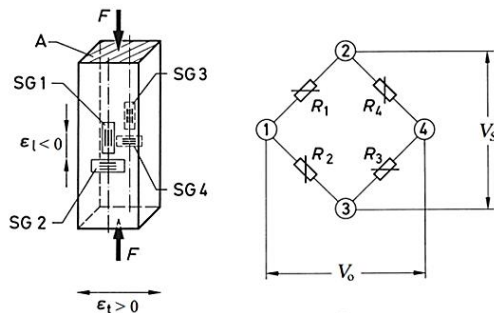


Fig. 10 Arrangement of the strain gages on the compression bar and in the Wheatstone bridge circuit [22]

شکل 10 نحوه چیدمان کرنش سنجه روی میله تحت فشار، در مدار پل وتستون [22]

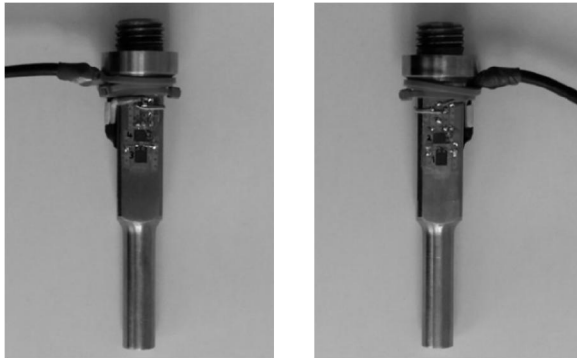


Fig. 11 The strain gages mounted on the impactor

شکل 11 نصب کرنش سنجه بر روی چکش ضارب

سمت دیگر چکش (شماره های 3 و 4) نشان داده شده اند که نحوه شماره گذاری آنها، همانند "شکل 10" می باشد.

هنگام انجام آزمایش ضربه، به محض این که چکش به نمونه فوم اصابت می کند، سیگنال ارسالی از سوی سنسور (که همان ولتاژ خروجی پل V_o می باشد) توسط سیستم اکتساب داده ها جمع آوری شده و تغییرات ولتاژ بر حسب زمان ضربه، در کامپیوتر ذخیره می گردد. با استفاده از روابط حاکم بر پل وتستونی که در هر چهار بازوی آن از کرنش سنجه استفاده شده (مدار پل کامل) و کرنش های جانبی نیز به حساب می آیند، می توان تغییرات کرنش-زمان و نهایتاً تغییرات نیرو-زمان را به دست آورد [22]. با انتگرال گیری عددی از تاریخچه شتاب (که با داشتن نیرو و جرم ضربه زن به دست می آید)، مقادیر سینماتیکی مربوطه مانند سرعت و تغییر مکان محاسبه شده و بنابراین انرژی جذب شده توسط فوم، با توجه به سطح زیر نمودار نیرو-تغییر مکان تعیین می شود.

توسط کامپیوتر ذخیره می گردد. "شکل 8" نمونه ای از نتایج آزمایش را نشان می دهد. ملاحظه می شود که سیگنال مربوط به سنسور شتاب، بسیار نویزی می باشد به گونه ای که ابتدای ضربه، انتهای ضربه و مقدار بار حداکثر¹ مشخص نیست. بنابراین به جای شتاب سنجه، از لودسل استفاده شد.

2-3- طراحی و نصب مدار لودسل

مطابق "شکل های 9، 10 و 11"، طراحی و نصب مدار کامل نیروسنج² دینامیکی جهت دستگاه آزمون ضربه سقوطی انجام گرفت. این مدار، شامل کرنش سنجه (نصب شده بر روی چکش)، تقویت کننده ولتاژ³ (شکل 9) و اسیلوسکوپ (تک ترونیکس⁴ TDS 1012B) می باشد که به منظور اندازه گیری نیروی ضربه بر حسب زمان، استفاده می گردد. طراحی مدار، با استفاده از پل وتستون⁵ انجام شده و چهار کرنش سنجه HBM (از نوع LY11 3/350) بر روی چکش چسبانده شده اند [22]. "شکل 10"، نحوه آرایش کرنش سنجه ها روی میله تحت فشار، در مدار پل وتستون را نشان می دهد. پس از چسباندن کرنش سنجه ها و نیز ترمینال های مربوطه، لحیم کاری سیم های رابط انجام گرفته است. "شکل 11"، جزئیات نصب کرنش سنجه ها را نشان می دهد. همان طور که در این شکل مشاهده می شود، در هر سمت چکش دو کرنش سنجه 350 اهمی، یکی در جهت محوری و دیگری در جهت عمود بر محور اصلی قرار می گیرند. در شکل سمت راست، کرنش سنجه ها برای یک سمت چکش (شماره های 1 و 2) و در شکل سمت چپ، کرنش سنجه ها برای

جدول 2 مشخصات سیستم اکتساب داده

Table 2 The data acquisition system characteristics

نام	مدل
سنسور شتاب	کیستلر 8742A10 با حساسیت 0.5 mV/g
اسیلوسکوپ	تک ترونیکس TDS 1012B
منبع تغذیه	کوپلر کیستلر نوع 5114



Fig. 7 The accelerometer used in this work

شکل 7 سنسور شتاب مورد استفاده

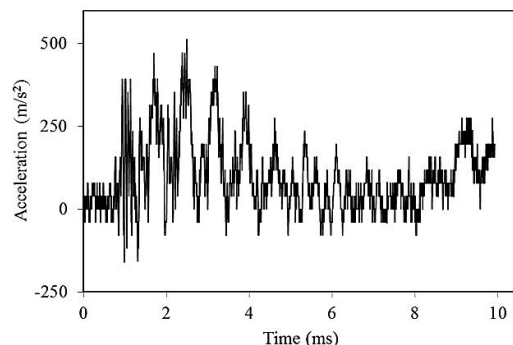


Fig. 8 The acceleration-time data

شکل 8 داده های شتاب بر حسب زمان

- ¹ Peak Load
- ² Load-cell
- ³ Amplifier
- ⁴ Tektronix
- ⁵ Wheatstone Bridge

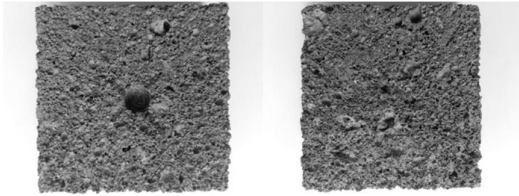


Fig. 13 The foam specimen under impact (front and back view)

شکل 13 نمونه فوم تحت ضربه (جلو و پشت نمونه)

$$\int F dt = m v \quad (1)$$

با توجه به این که یک رابطه خطی بین نیروی F و ولتاژ V وجود دارد [22] بنابراین:

$$\beta \int v dt = m v \quad (2)$$

و در نتیجه با توجه به تساوی بالا، ضریب تبدیل ولتاژ به نیرو (β) بدست می آید. لازم به ذکر است که سمت چپ رابطه فوق، با استفاده از انتگرال گیری عددی از داده های ولتاژ خروجی مدار لودسل، محاسبه شده است.

3-3- استفاده از یک نیروسنج پیزوالکتریک

پس از جستجوهای مکرر، یک نیروسنج استاندارد (مدل YMC511F03) از خارج از کشور، تهیه و خریداری گردید ("شکل 14"، تصویر سمت چپ). این سنسور، از نوع پیزوالکتریک³ بوده که در اثر شوک ناشی از ضربه، ولتاژ آزاد می کند و جهت اندازه گیری نیروی فشاری به صورت دینامیکی (با ظرفیت 5 کیلو نیوتن) مورد استفاده قرار می گیرد. لازم به ذکر است که سنسور نیرو، مستقیماً به اسیلوسکوپ متصل نمی شود و معمولاً از شارژ آمپلی فایر و یا سیگنال کاندیشنر⁴، به عنوان یک واسطه در مدار استفاده می گردد. تصویر سمت راست در "شکل 14"، سیگنال کاندیشنر مورد استفاده (مدل YMC 8201) را نشان می دهد.

"شکل 15"، تصویر دستگاه آزمون ضربه سقوطی و سیستم اکتساب داده ها را نشان می دهد. شماره های مشخص شده در شکل، عبارتند از: 1: مکانیزم نقاله، 2: مکانیزم چفتی کردن، 3: محل اضافه کردن وزنه، 4: زائده نصب شده روی ضربه زن (که از جلوی سنسور عبور کرده و سرعت ضربه در لحظه اصابت چکش به نمونه ثبت می شود)، 5: ضربه زن، 6: چکش، 7: خط کش، 8: ریل های راهنما، 9: موتور بالابر، 10: سرعت سنج (سنسور)، 11: صفحات کلمپ (گیره)، 12: نمونه فوم، 13: ضربه گیر، 14: نمایش گر سرعت ضربه، 15: اتصال بدنه دستگاه به چاه ارت، 16: آمپلی فایر، 17: سیگنال کاندیشنر، 18: اسیلوسکوپ، 19: کامپیوتر.

"شکل 16"، محل نصب سنسور پیزوالکتریک و کرنش سنج ها و نیز نحوه اتصال چکش به ضربه زن را نشان می دهد. شماره های مشخص شده در شکل، عبارتند از: 1: ضربه زن (کوبه سقوط کننده)، 2: سنسور نیرو (سنسور پیزوالکتریک)، 3: تبدیل واسط⁵ (فیکسچر) جهت قرار گیری سنسور نیرو در فاصله بین چکش و کوبه، 4: محل چسباندن کرنش سنج ها روی بدنه چکش، 5: فرورونده⁶، 6: نوک نیم کروی شکل (ملحق شده به انتهای چکش).

لازم به ذکر است که در زیر کوبه سقوط کننده، یک زائده تعبیه شده است. قسمت پایین این زائده، درون سنسور نیرو قرار می گیرد و قسمت بالای

آزمایش ضربه سقوطی در دفعات بسیار متعدد انجام گرفت. مشاهده شد که مدار لودسل برای آلومینیوم توده ای¹ (و مواد دیگر)، سیگنال خروجی دارد ولی برای فوم آلومینیوم خروجی ندارد. حتی با تغییر مقدار گین² به 100 که دامنه سیگنال خروجی پل صد برابر می شود، نیز سیگنالی بر روی صفحه اسیلوسکوپ مشاهده نشد.

چکش اولیه، از جنس فولاد و دارای مقطع توپر بود که در اثر نیروی ضربه وارده بر فوم تحریک نمی شد و کرنش بسیار کوچکی در کرنش سنج ها ایجاد می شد که توسط سیستم اکتساب داده ها قابل اندازه گیری نبود. بنابراین یک چکش جدید از جنس آلومینیوم و با مقطع توخالی طراحی گردید و مجدداً کرنش سنج ها بر روی آن چسبانده شد. مشکل رفع، و آزمایش با موفقیت انجام شد.

"شکل 12"، نمونه ای از نتایج حاصل از آزمایش ضربه بر روی فوم توسط چکش جدید را نشان می دهد که این نتایج، توسط مدار لودسل و نیز شتاب سنج گزارش شده است (تنظیمات محور عمودی، برای دو سنسور متفاوت می باشد). ملاحظه می شود که خروجی گزارش شده توسط شتاب سنج بسیار نویزی می باشد، در حالی که خروجی گزارش شده توسط مدار لودسل یک نمودار صاف و مناسب است که رفتار ضربه را به خوبی نشان می دهد.

به منظور کالیبره کردن دستگاه و تعیین ضریب تبدیل ولتاژ به نیرو، مطابق "شکل 13" آزمایش ضربه سقوطی بر روی یک نمونه فوم انجام شد، که در آن چکش ضارب به طور کامل به درون نمونه نفوذ نکرده و متوقف شده است. با داشتن جرم ضربه زن m و نیز سرعت ضربه در لحظه اصابت چکش به نمونه v_1 (که از روی صفحه سرعت سنج خوانده می شود)، مقدار تغییر تکانه خطی یا مومنتم اعمال شده از رابطه mv_1 معلوم می شود. سرعت نهایی چکش برابر صفر فرض می شود و لذا مقدار تغییرات سرعت، با مقدار سرعت ضربه در زمان $t=0$ برابر است.

از سوی دیگر، همان طور که در "شکل 13" مشاهده می شود، نمونه فوم سوراخ نشده است. بنابراین تمام انرژی ضربه و اندازه حرکت، توسط فوم جذب شده است. حال کافی است سطح زیر نمودار نیرو- زمان (از زمان شروع ضربه تا زمان پایان ضربه) محاسبه شده و مساوی با تغییرات تکانه عملی قرار داده شود، یعنی:

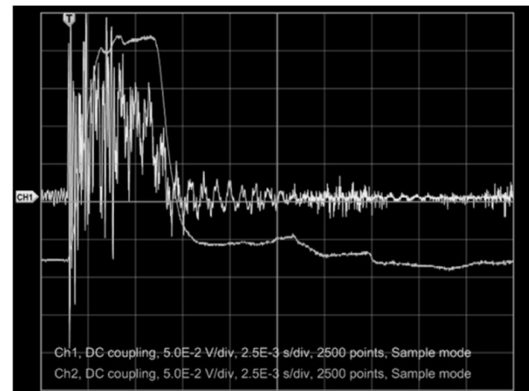


Fig. 12 The output signals reported by load-cell circuit and accelerometer for aluminum foam

شکل 12 خروجی گزارش شده توسط مدار لودسل برای فوم آلومینیوم، با استفاده از

چکش جدید

¹ Bulk Aluminum Alloy

² Gain

³ Piezoelectric

⁴ Signal Conditioner

⁵ Interface

⁶ Indenter

میلی ثانیه به طول انجامیده است و در لحظه $t=4.45$ ms مقدار نیرو به صفر رسیده است. داده‌های پس از آن، زائد بوده و در نتایج بعدی حذف شده است. همان‌طور که در شکل مشاهده می‌شود، نتایج دو سنسور (روند تغییرات و نیروی ماکزیمم) با یکدیگر مطابقت دارد. این نشان می‌دهد که کالیبره کردن کرنش‌سنج‌ها در مدار لودسل، به درستی انجام شده است. نکته لازم به ذکر در "شکل 17"، نوسانی بودن پاسخ به دست آمده از سنسور پیزوالکتریک می‌باشد، که علت آن احتمالاً مربوط به وجود ارتعاش در پایه اتصال سنسور به چکش و بدنه می‌باشد. این اتصال مطابق "شکل 16"، توسط یک ورق ارتجاعی انجام شده که تا حدی باعث ارتعاش شده و نیاز به اصلاح محل اتصال خواهد داشت.

"شکل‌های 18 و 19"، نتایج تغییرات بار (نیروی ضربه) برحسب زمان و بار برحسب تغییر مکان را نشان می‌دهند. تغییر مکان جابجا شده توسط نمونه فوم، معادل عمق نفوذ چکش (ضارب) می‌باشد. پاسخ ضربه سرعت پایین فوم آلومینیومی $A356/SiC_p$ ، می‌تواند به سه ناحیه تقسیم شود: 1- ناحیه الاستیک، 2- ناحیه بار پلاتو و 3- ناحیه شکست کامل. در ابتدا نیرو، به‌طور تقریباً خطی افزایش می‌یابد تا این‌که به یک مقدار حداکثر اولیه¹ می‌رسد. این امر، مقاومت سلول‌های فوم در برابر نفوذ را نشان می‌دهد. سپس ناحیه بار پلاتو² مشاهده می‌شود. در حقیقت، ساختار سلولی ماده سبب می‌شود که فوم بتواند قبل از شکست، تغییر شکل‌های پلاستیک را در یک بار تقریباً ثابت (بار پلاتو) تحمل کند و لذا بخش قابل‌توجهی از انرژی ضربه جذب شده، مربوط به ناحیه پلاتو می‌باشد. نهایتاً، نیرو با زمان کاهش یافته و هنگام نفوذ کامل چکش به داخل نمونه فوم، به صفر می‌رسد. مقدار بار پلاتو (متوسط مقادیر نیرو در ناحیه پلاتو)، برابر با 1.62 kN برای لودسل و برابر با 1.65 kN برای سنسور پیزوالکتریک می‌باشد که 1.8 درصد اختلاف را نشان می‌دهد.

در "شکل 20"، نمودار تغییرات انرژی جذب شده توسط فوم برحسب زمان ضربه نشان داده شده است. با گذشت زمان، انرژی ضربه جذب شده به تدریج افزایش می‌یابد، تا این‌که به یک مقدار حداکثر می‌رسد. این مقدار حداکثر به عنوان انرژی جذب شده کل توسط فوم آلومینیوم، تلقی می‌شود و مقدار آن برابر با 22.04 J برای لودسل می‌باشد؛ این مقدار برای سنسور پیزوالکتریک، برابر 20.45 J است. بنابراین ظرفیت جذب انرژی برآورد شده توسط دو سنسور، به میزان 7.7 درصد اختلاف دارد. شکستگی منحنی جذب انرژی در مورد سنسور پیزوالکتریک، مربوط به ارتعاشات پایه اتصال سنسور

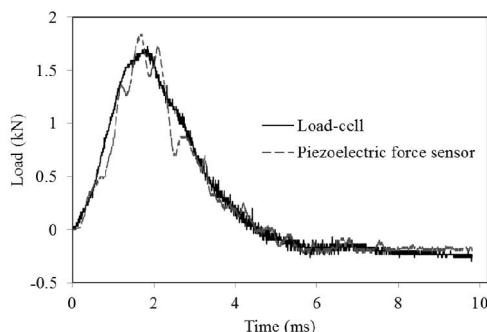


Fig. 17 The load as a function of time for A356/SiC_p composite foam reported by two different sensors

شکل 17 تغییرات نیرو (بار) برحسب زمان برای فوم کامپوزیتی $A356/SiC_p$ گزارش شده توسط دو سنسور مختلف

¹ Initial Peak Load

² Plateau of Load Region

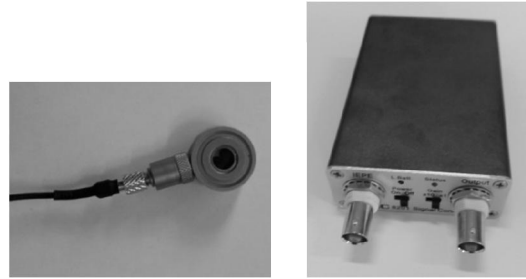


Fig. 14 A piezoelectric dynamic force sensor (left) and signal conditioner (right)

شکل 14 نیروسنج پیزوالکتریک (تصویر سمت چپ) و سیگنال کاندیشنر (تصویر سمت راست)



Fig. 15 A picture of the drop-weight impact testing machine and the data acquisition system (the experimental set up)

شکل 15 تصویر دستگاه آزمون ضربه سقوطی و سیستم اکتساب داده‌ها

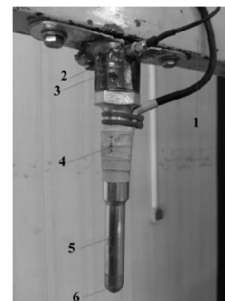


Fig. 16 Force sensor and strain gages mounted on the striker

شکل 16 سنسور نیرو و کرنش‌سنج‌ها بر روی چکش جدید (آلومینیومی)

آن که مخروطی شکل است، بر روی سطح بالایی سنسور می‌نشیند. بنابراین در طی ضربه، سنسور نیرو از هر دو سمت (هم از قسمتی که به کوبه یا ضربه‌زن متصل است و هم از قسمتی که به چکش متصل است) تحت فشار قرار می‌گیرد.

4- نتایج و بحث

"شکل 17"، نتایج آزمایشگاهی تغییرات بار (نیروی ضربه) برحسب زمان برای فوم کامپوزیتی $A356/SiC_p$ را نشان می‌دهد. نتایج نشان داده شده در شکل، نتایج گزارش شده توسط هر دو سنسور (یعنی لودسل طراحی شده براساس پل وتستون و نیروسنج تجاری پیزوالکتریک) می‌باشد. ضربه به مدت 4.45

جایجا می شود.¹

گفته شد که پاسخ ضربه فوم A356 دارای سه مرحله است (شکل 18). در منحنی "شکل 20" ملاحظه می شود که نرخ انرژی جذب شده² توسط فوم، در مرحله اول (ناحیه الاستیک) افزایش می یابد، در مرحله دوم (ناحیه پلاتو) ثابت است و در مرحله سوم (شکست فوم) کاهش می یابد.

در جدول 3 اطلاعات به دست آمده از اندازه گیری های آزمایشگاهی (مربوط به مدار لودسل)، شامل زمان، تغییر مکان چکش، نیروی ضربه و انرژی جذب شده در نقاط خاصی از نمودار نیرو- زمان ارائه شده است. این نقاط عبارتند از: 1- نقطه پایان ناحیه الاستیک و شروع ناحیه پلاتو، 2- نقطه پایان ناحیه پلاتو و شروع ناحیه شکست، 3- نقطه پایان آزمایش که در آن، ضربه به اتمام رسیده و نیرو برابر با صفر می شود. مرحله اول یعنی ناحیه الاستیک، طی مدت 1.36 میلی ثانیه طول می کشد. بار پیک اولیه که در زمان $t=1.36$ ms اتفاق می افتد، برابر با 1.56 kN می باشد. مرحله دوم (ناحیه پلاتو) که در آن، چکش ضارب در فوم تغییر شکل ایجاد می کند در زمان $t=2.01$ ms پایان می یابد و بنابراین ناحیه بار پلاتو، طی مدت 0.65 میلی ثانیه به طول می انجامد. در لحظه ای که مرحله سوم آغاز می شود ($t=2.01$ ms)، نرخ انرژی جذب شده شروع به کاهش یافتن می کند. این، یعنی آن که مقاومت سلول های فوم در برابر نفوذ، روبه زوال می رود و در نتیجه، مقدار نیرو کاهش یافته تا در نهایت به صفر برسد.

همچنین با توجه به جدول 3، ناحیه بار پلاتو در تغییر مکان 8.81 mm شروع و در تغییر مکان 12.87 mm پایان می یابد. بنابراین یک ناحیه پلاتو با 4.06 mm تغییر مکان مشاهده می شود. مقدار (و درصد) انرژی جذب شده در ناحیه الاستیک برابر با 6.07 J (27.5%)، در ناحیه پلاتو برابر با 6.58 J (29.9%) و در ناحیه شکست برابر با 9.39 J (42.6%) می باشد که در مجموع، 22.04 ژول انرژی توسط ماده جذب شده است.

در "شکل 21"، نتایج کار حاضر با نتایج تجربی گزارش شده توسط موهان و همکاران [11] مقایسه شده است. در این شکل، نمودار تغییرات نیرو بر حسب زمان و انرژی جذب شده بر حسب زمان، برای فوم آلومینیوم با ضخامت های مختلف 20 mm، 30 mm و 40 mm تحت ضربه سقوطی نشان داده شده است. ضخامت فوم در کار حاضر، برابر با 20 mm می باشد. مقیاس محور ها طوری در نظر گرفته شده که مقایسه دو نمودار، بهتر صورت گیرد. ملاحظه می شود که زمان ضربه، تقریباً در هر دو نمودار یکسان می باشد. نکته حائز اهمیت در "شکل 21"، همخوانی رفتار ماده در دو نمودار (کار حاضر و کار موهان) می باشد. همچنین پاسخ به دست آمده برای ماده فوم مطالعه شده در کار حاضر، یک پاسخ پایدار³ و کم نوسان (حد اکثر با 5.8% نوسان)

جدول 3 اطلاعات به دست آمده از آزمایش ضربه برای فوم کامپوزیتی A356/SiC_p

Table 3 The impact test data for A356/SiC_p composite foam

کمیت	در نقطه پایان ناحیه الاستیک و شروع ناحیه پلاتو	در نقطه پایان ناحیه پلاتو و شروع ناحیه شکست	در پایان ضربه
زمان (ms)	1.36	2.01	4.45
تغییر مکان (mm)	8.81	12.87	27.5
نیرو (kN)	1.56	1.56	0
انرژی (J)	6.07	12.65	22.04

¹ Moves Past the Foam Plate

² The Rate of Energy Absorbed by the foam

³ Stable Response

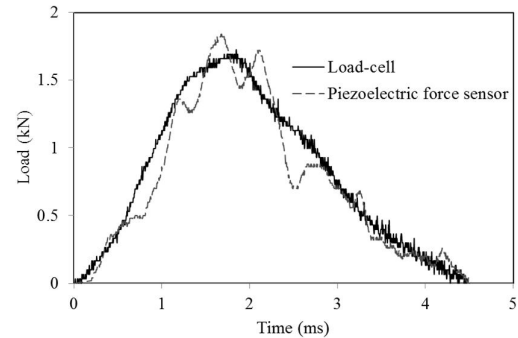


Fig. 18 The load-time history data obtained from the experiment (load-cell and piezoelectric force sensor)

شکل 18 داده های تجربی نیرو (بار) بر حسب زمان مربوط به مدار لودسل و سنسور پیزوالکتریک

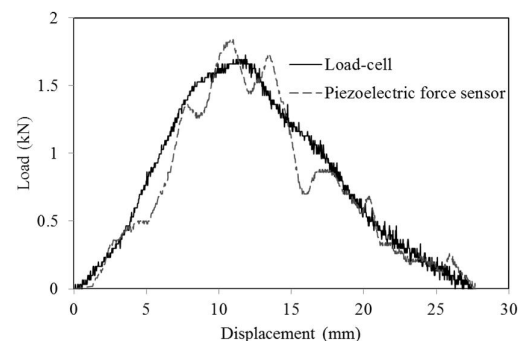


Fig. 19 The load versus displacement (impactor penetration depth)

شکل 19 تغییرات نیرو بر حسب تغییر مکان (عمق نفوذ ضارب)

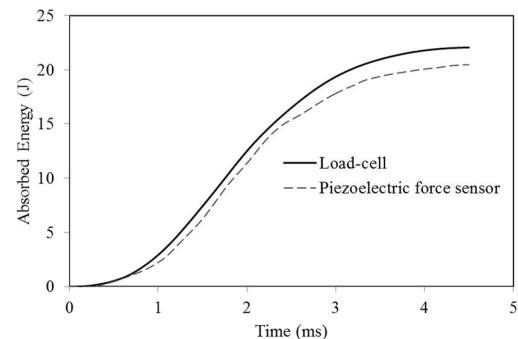


Fig. 20 The absorbed energy versus time history for aluminum foam

شکل 20 نمودار انرژی جذب شده بر حسب زمان برای فوم آلومینیوم

می باشد. حالت های مختلف تغییر شکل فوم که باعث جذب انرژی در طی ضربه می گردد، شامل خمش و فروپاشی دیواره های سلول فوم، لهیدگی سلول های فوم در زیر نوک چکش و نیز پارگی سلول های پیرامون ضارب می باشد [11].

همان طور که قبلاً ذکر شد، چکش ضارب به طور کامل به درون نمونه فوم نفوذ کرده، نمونه سوراخ شده و پلاگ برشی نیز مشاهده می شود (شکل 6). بنابراین انرژی جذب شده توسط فوم از انرژی ضربه اعمالی (105 ژول) کمتر است. در حقیقت انرژی ضربه اضافی که توسط فوم جذب نمی شود، در ضربه زن باقی می ماند، هم چنان که چکش نفوذ کننده بعد از صفحه فومی

نمونه‌های فومی تحت ضربه سقوطی با سرعت پایین، به طور تجربی بررسی شد.

کالیبره کردن دستگاه آزمایش ضربه اولاً بر روی همان ماده مورد مطالعه (فوم کامپوزیتی A356/SiC_p) اجرا شده و ثانیاً مطابق با شرایط آزمایش ضربه که بر روی نمونه‌های اصلی انجام گرفته، می‌باشد. با توجه به این که در کار حاضر، رفتار دینامیکی ماده فوم بررسی گردیده است، لذا انجام کالیبراسیون به صورت دینامیکی و مطابق شرایط ذکر شده در فوق، اکیداً توصیه می‌شود. به منظور ثبت داده‌های نیرو در طی زمان ضربه، از سه سنسور مختلف (شتاب‌سنج، لودسل و سنسور پیزوالکتریک) استفاده شد. به دلیل نوبی بودن سیگنال گزارش شده توسط شتاب‌سنج، مدار لودسل جهت دستگاه ضربه طراحی و نصب گردید. با توجه به عدم گزارش ولتاژ توسط مدار لودسل (برای آزمایش ضربه بر روی فوم)، جنس و مقطع چکش اصلاح گردید و مجدداً کرنش‌سنج‌ها بر روی چکش جدید چسبانده شد. مشکل رفع، و آزمایش با موفقیت انجام شد.

نتایج حاصل از لودسل طراحی شده براساس پل و تستون، با نتایج به دست آمده از سنسور تجاری پیزوالکتریک (نیروسنج دینامیکی) مقایسه و صحت‌سنجی شد. مقدار بار پلاتو (متوسط مقادیر نیرو در ناحیه پلاتو) و انرژی جذب شده توسط فوم، به ترتیب برابر با 1.62 kN و 22.04 J توسط لودسل و برابر با 1.65 kN و 20.45 J توسط سنسور پیزوالکتریک برآورد شده است که در مقایسه با یکدیگر، 1.8 و 7.7 درصد اختلاف را نشان می‌دهد.

به دست آوردن یک پاسخ ضربه کم‌نوسان (حداکثر با 5.8% نوسان) و پایدار برای ماده فوم و نیز هم‌خوانی رفتار ماده با نتایج مقالات دیگر، دلالت بر طراحی مناسب ماشین و خروجی قابل اعتماد آن دارد. مقایسه با نتایج محققان دیگر، نشان داد که به دلیل وجود ذرات سرامیکی تقویت‌کننده SiC (کاربید سیلیسیم) در ماده زمینه فوم، مقدار استحکام پلاتو و نیز ظرفیت جذب انرژی ماده (در کار حاضر) بیشتر است. بنابراین افزودن ذرات SiC، می‌تواند به عنوان یک رویکرد مناسب و با هدف بهبود خواص مکانیکی فوم و افزایش مقاومت به ضربه آن، مورد بررسی قرار گیرد. این رویکرد، به خصوص زمانی اهمیت دارد که از فوم آلومینیوم، در کاربردهای جذب انرژی استفاده شود.

نتایج آزمایش نشان داد که پاسخ ضربه فوم آلومینیومی (نمودار تغییرات نیرو بر حسب زمان)، شامل سه مرحله است: رفتار خطی یا الاستیک، محدوده بار پلاتو و ناحیه شکست فوم. در نمودار جذب انرژی فوم نیز، این سه مرحله مشاهده می‌شود که در آن نرخ انرژی جذب شده، به ترتیب افزایش می‌یابد، ثابت است و کاهش می‌یابد. این رفتار ماده دلالت بر آن دارد که در مرحله اول فوم در مقابل ضربه مقاومت می‌کند، در مرحله دوم در فوم تغییر شکل پلاستیک ایجاد می‌شود و در مرحله سوم مقاومت فوم در برابر ضربه کاهش یافته تا اینکه نهایتاً شکست ماده اتفاق می‌افتد. بنابراین می‌توان گفت که رفتار جذب انرژی فوم نسبت به زمان، به صورت تجمعی می‌باشد. به بیان دیگر، در هر مرحله و به تدریج، میزان جذب انرژی با زمان افزایش یافته تا اینکه به حداکثر مقدار خود برسد.

رفتار مکانیکی فوم A356/SiC_p تحت ضربه نشان داد که این ماده سلولی، انتخاب مناسبی در طراحی جاذب‌های انرژی می‌باشد. در ناحیه پلاتو، فوم می‌تواند تغییر شکل‌های پلاستیک را در یک بار تقریباً ثابت تحمل نماید. برای فوم با ضخامت 20 mm که در پژوهش حاضر بررسی شده است، 30 درصد از کل انرژی جذب شده مربوط به ناحیه پلاتو می‌باشد. مسلماً استفاده

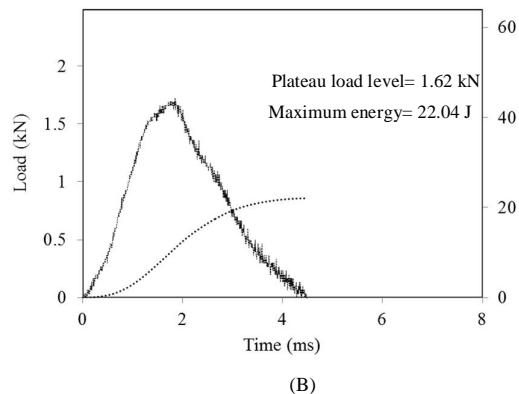
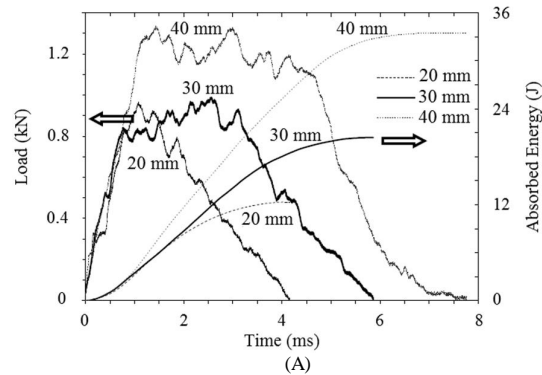


Fig. 21 Comparison of absorbed energy and load versus time for aluminum foam under impact loading: (A) results reported by Mohan et al. [11], (B) results of this work

شکل 21 مقایسه انرژی جذب شده و نیرو بر حسب زمان برای فوم آلومینیوم تحت بار ضربه‌ای: (الف) نتایج گزارش شده توسط موهان و همکاران [11]، (ب) نتایج کار حاضر

می‌باشد. موارد ذکر شده، بر قابل اطمینان بودن خروجی ماشین ضربه دلالت دارد.

ماده بررسی شده در کار موهان و همکاران [11]، یک فوم آلومینیوم معمولی و فاقد ذرات SiC می‌باشد؛ اما ماده بررسی شده در تحقیق حاضر، فوم آلومینیوم A356 تقویت شده با ذرات SiC (فوم کامپوزیتی A356/SiC_p) می‌باشد. بنابراین با توجه به "شکل 21"، مقدار بار پلاتو و نیز ظرفیت جذب انرژی در ماده بررسی شده در کار حاضر بیشتر است (به دلیل وجود ذرات SiC در ماده). لی و همکاران [23]، نیز خواص مکانیکی آلیاژ آلومینیوم A356 تقویت شده توسط ذرات SiC را در شرایط بارگذاری استاتیکی مطالعه نمودند. نتایج آن‌ها نشان داد که افزودن ذرات SiC، به طور قابل‌ملاحظه‌ای باعث افزایش استحکام تسلیم¹ ماده (با 100% افزایش) می‌گردد. مقایسه نمودارهای نیرو- زمان در فوم آلومینیوم بدون SiC (کار موهان) و فوم آلومینیوم با SiC (کار حاضر) در "شکل 21"، نشان می‌دهد که برای ماده مطالعه شده در کار حاضر، مقدار بار پلاتو به میزان 80% و ظرفیت جذب انرژی فوم به میزان 84% افزایش دارد.

5- نتیجه‌گیری

در کار حاضر، نمونه‌های فوم کامپوزیتی آلومینیوم A356/SiC_p، با استفاده از روش ذوبی به کمک عامل فوم‌ساز تولید شد. دستگاه آزمون ضربه سقوطی، براساس استانداردهای موجود طراحی، ساخته و کالیبره شد. سپس رفتار

¹ Yield Strength

- response of a closed-cell aluminum foam at high strain rate, *Scripta Materialia*, Vol. 54, No. 4, pp. 533-537, 2006.
- [10] J. Gassan, W. Harwick, D. Girlich, Behavior of aluminum foams under quasi-static and crash loadings, *Journal of Materials Science Letters*, Vol. 20, No. 11, pp. 1047-1048, 2001.
- [11] K. Mohan, T. H. Yip, S. Idapalapati, Z. Chen, Impact response of aluminum foam core sandwich structures, *Materials Science and Engineering: A*, Vol. 529, pp. 94-101, 2011.
- [12] J. U. Cho, S. J. Hong, S. K. Lee, C. Cho, Impact fracture behavior at the material of aluminum foam, *Materials Science and Engineering: A*, Vol. 539, pp. 250-258, 2012.
- [13] G. Castro, S. R. Nutt, X. Wenchen, Compression and low-velocity impact behavior of aluminum syntactic foam, *Materials Science and Engineering: A*, Vol. 578, pp. 222-229, 2013.
- [14] M. S. Han, S. O. Bang, J. U. Cho, S. Lee, C. Cho, Experimental study on the impact characteristics of a sandwich composite with an aluminum foam core, *International Journal of Automotive Technology*, Vol. 14, No. 1, pp. 61-66, 2013.
- [15] C. Hosun, C. Jaeung, Damage and penetration behavior of aluminum foam at various impacts, *Journal of Central South University*, Vol. 21, No. 9, pp. 3442-3448, 2014.
- [16] S. Ramachandra, P. Sudheer Kumar, U. Ramamurty, Impact energy absorption in an Al foam at low velocities, *Scripta Materialia*, Vol. 49, No. 8, pp. 741-745, 2003.
- [17] L. Peroni, M. Avalue, M. Peroni, The mechanical behaviour of aluminium foam structures in different loading conditions, *International Journal of Impact Engineering*, Vol. 35, No. 7, pp. 644-658, 2008.
- [18] M. Zia Shamami, M. H. Pol, H. Khodarahmi, Experimental investigation of ballistic properties of aluminum foam structure, *Modares Mechanical Engineering*, Vol. 13, No. 3, pp. 22-27, 2013. (in Persian فارسی)
- [19] M. Choubini, Gh. H. Liaghat, M. H. Pol, Investigation of energy absorption and deformation of thin walled tubes with circle and square section geometries under transverse impact loading, *Modares Mechanical Engineering*, Vol. 15, No. 1, pp. 75-83, 2015. (in Persian فارسی)
- [20] M. Malekjafarian, S. K. Sadrnezhad, Closed-cell Al alloy composite foams: Production and characterization, *Materials & Design*, Vol. 42, pp. 8-12, 2012.
- [21] American Society for Testing and Materials, Standard Test Method for High Speed Puncture Properties of Plastics Using Load and Displacement Sensors, ASTM D 3763, 2002.
- [22] K. Hoffmann, *An Introduction to Stress Analysis and Transducer Design using Strain Gauges*, The definitive work on strain gauge measurement, pp. 126-209, HBM, 2011.
- [23] X. Li, Y. Yang, D. Weiss, Ultrasonic cavitation based dispersion of nanoparticles in aluminum melts for solidification processing of bulk aluminum matrix Nano-composite: Theoretical study, Fabrication and characterization, *American Foundry Society Transactions*, Vol. 133, No. 2, pp. 1-12, 2007.

از فوم با ضخامت‌های بیشتر، منجر به بروز ناحیه پلاتو طولانی‌تر و افزایش ظرفیت جذب انرژی ماده خواهد شد.

با توجه به عدم وجود داده‌های آزمایش ضربه بر روی فوم $A356/SiC_p$ ، از نتایج این پژوهش می‌توان جهت توسعه مواد کامپوزیتی پیشرفته در کاربردهای صنعتی استفاده کرد.

6- تقدیر و تشکر

نویسندگان این مقاله، مراتب سپاس و قدردانی خود را از آقای دکتر سید حجت هاشمی، بابت در اختیار قرار دادن تجهیزات آزمایشگاه ضربه و نیز همکاری بی‌دریغ ایشان در انجام آزمایش‌ها ابراز می‌دارند.

7- مراجع

- [1] H. Ahmadi, Gh. H. Liaghat, M. M. shokrieh, Experimental investigation of fabrication parameters' effects on the mechanical properties of epoxy/ceramic microballoon syntactic foams, *Modares Mechanical Engineering*, Vol. 14, No. 2, pp. 47-54, 2014. (in Persian فارسی)
- [2] M. F. Ashby, A. G. Evans, N. A. Fleck, L. J. Gibson, J. W. Hutchinson, H. N. G. Wadley, *Metal Foams: a Design Guide*, Boston, Butterworth: Heinemann, 2000.
- [3] J. Banhart, Manufacture, characterisation and application of cellular metals and metal foams, *Progress in Materials Science*, Vol. 46, No. 6, pp. 559-632, 2001.
- [4] N. Michailidis, F. Stergioudi, A. Tsouknidas, Deformation and energy absorption properties of powder-metallurgy produced Al foams, *Materials Science and Engineering: A*, Vol. 528, No. 24, pp. 7222-7227, 2011.
- [5] M. Alizadeh, M. Mirzaei-Aliabadi, Compressive properties and energy absorption behavior of Al-Al₂O₃ composite foam synthesized by space-holder technique, *Materials & Design*, Vol. 35, pp. 419-424, 2012.
- [6] T. Mukai, H. Kanahashi, T. Miyoshi, M. Mabuchi, T. G. Nieh, K. Higashi, Experimental study of energy absorption in a close-celled aluminum foam under dynamic loading, *Scripta Materialia*, Vol. 40, No. 8, pp. 921-927, 1999.
- [7] V. S. Deshpande, N. A. Fleck, High strain rate compressive behaviour of aluminium alloy foams, *International Journal of Impact Engineering*, Vol. 24, No. 3, pp. 277-298, 2000.
- [8] K. A. Dannemann, J. Lankford Jr, High strain rate compression of closed-cell aluminium foams, *Materials Science and Engineering: A*, Vol. 293, No. 1-2, pp. 157-164, 2000.
- [9] T. Mukai, T. Miyoshi, S. Nakano, H. Somekawa, K. Higashi, Compressive